

## II-7 LDVプローブを用いた河口部における水流計測

北海道大学工学部

正会員

吉田 静男

北海道大学工学部

学生会員

溝沢 巨彦

日本気象協会北海道本部

正会員

八木 支郎

## 1. 序文

野外観測において使用される流速計には様々な種類があるが、広い周波数領域にわたる流速変動の計測に適した機種は数少ない。その中で最も期待されている機種は電磁流速計と超音波流速計である。ただ、前者は、いわば接触型に類するものが主であり、後者に比べ精度上の問題が残されている。又、後者については十分な実績が得られていないという不安材料がある。

野外における流速計定法としては、いまひとつ LDV (Laser Doppler Velocimeter) がある。この方法では多くの光学系が考案されているが非接触型の系を固執するあまり、限定された条件下の流れ以外は計測できないという欠点があった。しかし、最近、光学系を小型プローブ内におさめ、被測定点近くを除く光路を光ファイバーでおさえる方法が提案され、室内実験ではきわめて有効であることが確かめられている。そこで筆者は、このプローブの原理を採用し、野外観測に適したプローブを製作して、美河川での乱流計測への応用を試みた。その結果、実用上十分な成果が得られたので報告する。

## 2. LDVの原理

LDVは「光源と観測者間の相対速度が、観測される光波の周波数に偏移をもたらす。」というドップラー効果を応用したものである。今、光源から出た光が運動している流体内の散乱粒子にあたるとしよう。この時、散乱粒子にあたるレーザ光は、観測者が動いている場合のドップラー効果を受ける。次にその粒子から放出される散乱光を検出するとすれば、その光は光源が動いている場合のドップラー効果を受けることになる。しかししながら、このドップラー効果による周波数偏移量を直接測定することは難しいため、実際にはドップラー効果を受けたレーザ光を受けていないレーザ光の2本を重ね合わせることによって、ビートを形成させ、その数からドップラー周波数を検出する。

光源から出たレーザ光の振動数を $\nu_p$ 、散乱粒子が受けるレーザ光の振動数を $\nu_s$ 、光の速度を $C$ とすると、

$$\nu_p = \frac{1}{\lambda} \left[ C - \{\hat{O}\}_i \{\hat{e}\}_i \right] = \sqrt{1 - \frac{\{\hat{O}\}_i \{\hat{e}\}_i}{C}} \quad (2.1)$$

である。（ $\lambda$ ：レーザ光の波長）最終的に受光されるレーザ光の振動数 $\nu_r$ は

$$\nu_r = \frac{\nu_p}{1 - \frac{1}{C} \{\hat{O}\}_i \{\hat{k}\}_i} = \frac{C - \{\hat{O}\}_i \{\hat{e}\}_i}{C - \{\hat{O}\}_i \{\hat{k}\}_i} \sqrt{1 - \frac{\{\hat{O}\}_i \{\hat{e}\}_i}{C}} \quad (2.2)$$

で与えられる。ここで、 $\{\hat{O}\}_i$ ：流速ベクトル、 $\{\hat{e}\}_i$ ：光源から散乱粒子方向への単位ベクトル、 $\{\hat{k}\}_i$ ：散乱粒子から受光部方向への単位ベクトル、を表している。

プローブタイプLDVでは、2次元乱流計測を可能にする参照光法が使用される。そこで以下、参照光法の光学系について述べることにする。散乱光の振動数を $\nu_s$ 、参照光及び散乱光の方向を示す単位ベクトルを $\{\hat{e}_r\}_i$ 、 $\{\hat{e}_s\}_i$ 、粒子衝突後の散乱光の方向を示す単位ベクトルを $\{\hat{k}\}_i$ とすると、(2.2)式より

$$\nu_s = \frac{C - \{\hat{O}\}_i \{\hat{e}_s\}_i}{C - \{\hat{O}\}_i \{\hat{k}\}_i} \sqrt{1 - \frac{\{\hat{O}\}_i \{\hat{e}_s\}_i}{C}} \quad (2.3)$$

を得る。 $(\because \{\hat{e}_s\}_i = \{\hat{k}\}_i)$

一方、ドップラーシフト量  $v_d$  は

$$v_d = \sqrt{s} - \sqrt{c} = \frac{c}{\lambda} \cdot \frac{\{\bar{O}\}_i [(\bar{L}_{dL})_i - (\bar{L}_{dR})_i]}{1 - \frac{1}{c} \{\bar{O}\}_i (\bar{L}_{dL})_i} \doteq \frac{c}{\lambda} \{\bar{O}\}_i [(\bar{L}_{dL})_i - (\bar{L}_{dR})_i] \quad (2.4)$$

ここで、参照光と散乱光の交差角θを導入し、L-ガ光の波長  $\lambda = c/v$  を用い、流速を  $U_i$  とする。

$$v_d = \frac{1}{\lambda} U_i \cdot 2 \sin \frac{\theta}{2} \quad (2.5)$$

$$\therefore U_i = \frac{\lambda}{2 \sin \frac{\theta}{2}} v_d \quad (2.6)$$

さらに、上式に被測定流体の屈折率  $n$  を考慮すると

$$U_i = \frac{\lambda}{2n \sin \frac{\theta}{2}} v_d \quad (2.7)$$

を得る。

### 3. フィールドタイプ LDV の光学系

プローブは図-1 に示す構造を有し、長さ 150 cm、直徑 3 cm の支持棒の外側に沿って直徑 0.6 cm のステンレスパイプ 2 本が平行に固定されたものから成っている。又、そのステンレスパイプの中には、それぞれ送光側と受光側の光ファイバーが通っている。今回は、送光側にコア径 10 μm、クラッド径 125 μm のシングルモード光ファイバー、受光側には受光を容易にするためにコア径 60 μm、クラッド径 125 μm のマルチモード光ファイバーを使用した。図-2 に送光部の構造が示されている。送光部において光ファイバーを出た光は、一部（参照光となる部分の光のみ）フィルムによって減光され、ピンホールマスクにより参照光と散乱光に分けられる。分けられた光は送光部先端のレンズにより、送光部と受光部のほぼ中间に集光される。受光部においては、参照光と流体内の粒子により散乱された散乱光を受光し、光ファイバーを通じて光電子増倍管に送り込まれる。

なお、今回製作したプローブは 1 次元の流速成分しか測定

できないが、2 次元流速の測定への拡張は容易と思われる。（2.7）式からもわかるように、幾何学的諸元は交差角θのみである。本装置では 3 回の測定の結果より  $\theta = 2.1^\circ$  という数値が得られた。また、He-Ne L-ガを光源として使用したので、波長入は  $\lambda = 6328 [\text{\AA}] = 6.328 \times 10^{-5} [\text{m}]$  である。又、水の屈折率  $n$  は  $n=1.33$  であるから、ドップラーシフト量  $v_d [\text{kHz}]$  と流速  $U_i [\text{cm/s}]$  の関係式は

$$v_d = 0.78 U_i \quad (3.1)$$

で与えられる。

### 4. 実河川における実測結果

実河川における乱流測定は、まず天塩川で実施され、次いで石狩川において他器種の流速計との出力比数が行われている。天塩川での観測は河口上流約 1.4 km、左岸より 160 m、右岸より 80 m に位置させた解びびとの上流側約 2 m に設置した観測塔を用いて遂行された。観測塔は、直徑 3 cm の塩化ビニールゴーティングされた軟鋼パイプを用い、正三角柱状に組み立てられたもので、それぞれの頂点に位置するパイプはアンカーとロープを

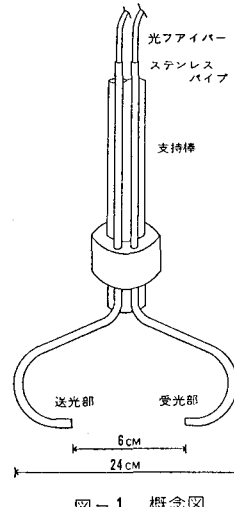


図-1 概念図

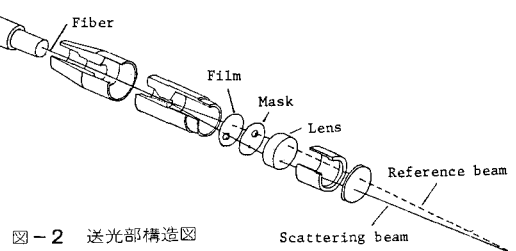


図-2 送光部構造図

用いて固定されている。このため、外部擾乱による振動などはなく理想的な観測を行うことができた。なお、観測塔の高さは8 m、全水深は4.4 mであった。又、フローライト用に試作したLDVは観測塔の上下方向に沿って、任意の水深に下げるこができるよう設定されている。

図-4～6は、1983年8月11日 15:30～17:00の間に主流の名取川において測定したLDV出力(図-4)、及び下下法により計算されたパワースペクトル(図-5)である。図-6は主成分の自己相関関数を求めたものである。又、図-5、6の縦軸目盛はパワースペクトルにに対応しており、a～dについては比較するより10<sup>1</sup>づつ上にずらしてある。なお、パワースペクトルを求める段階で若干の平滑化を行っている。図-3には、上記の記録から得る流速分布を示してある。観

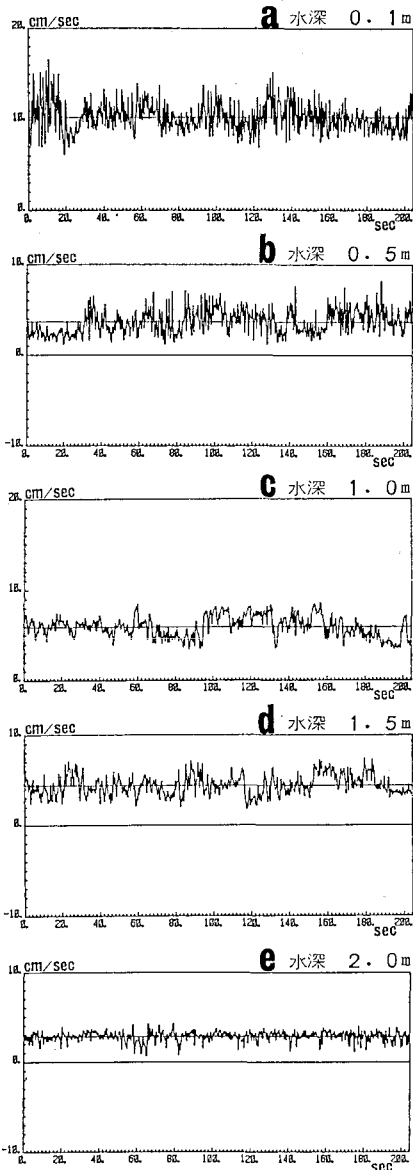


図-4 流速変動

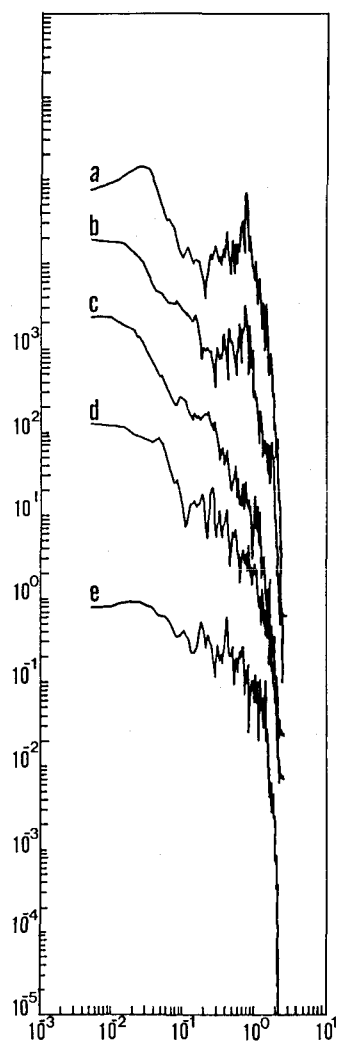


図-5 パワースペクトル

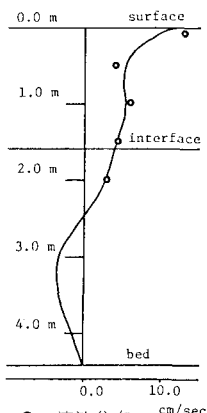


図-3 流速分布

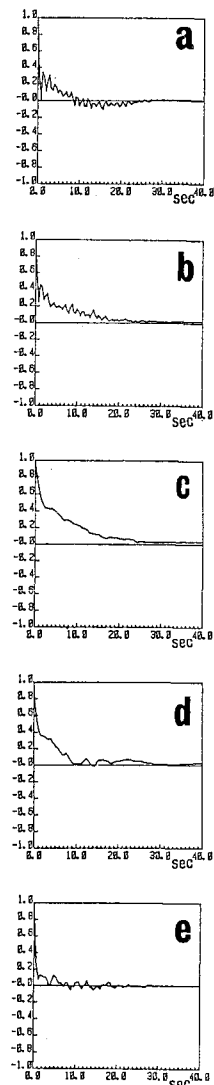


図-6 自己相関関数

測期中の潮位変化は、観測塔の左岸に位置している河口水位観測所の潮位記録によると約4cm上昇していることがわかった。又、界面は水深1.6mに位置しており、測定前後でほとんど変化がみられなかった。従って、観測期中の流速分布には大きな影響はながったものと思われる。

図-4aは水面下0.1mにおける測定結果であるが、風(SSW, 3m/s)の影響によると思われる長周期、及びそれよりかなり短い周期の流速変動が捕えられている。一方、図-5aを検討すると、上述の2種類の周期性を持つ流速変動が0.03~0.04Hzと0.8Hz付近に2つのスペクトルピークとして現われている。このうち、0.8Hz付近のスペクトルピークはレベルを下げながら図-5bに現われているが、長周期のスペ

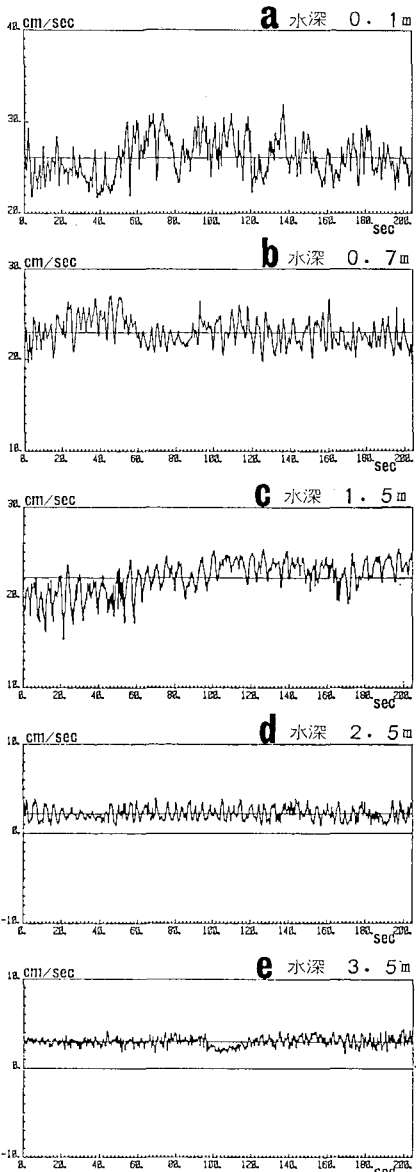


図-8 流速変動

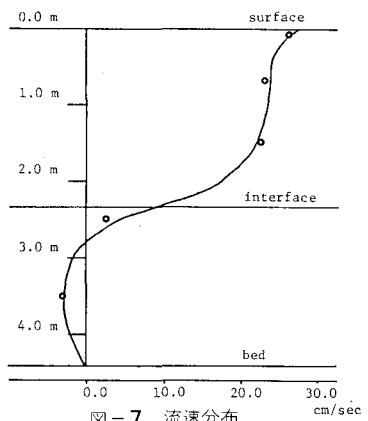


図-7 流速分布

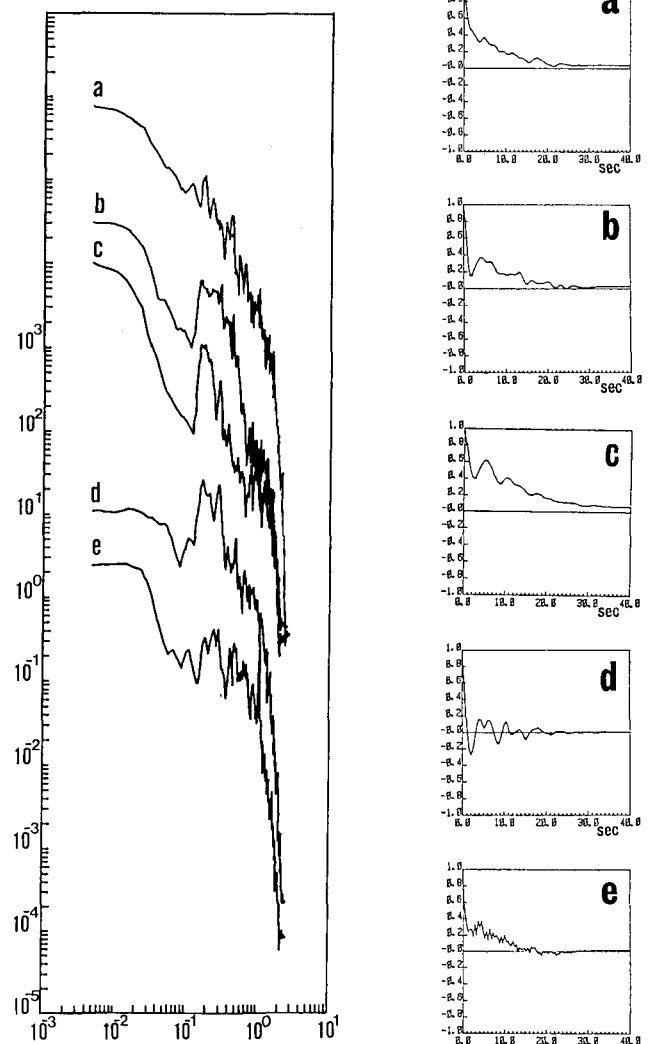


図-9 パワースペクトル

図-10 自己相関関数

クトルピークは現われていない。前者の特徴は表面波に基づくものとするには、あまりにも鉛直方向の変化が著しく太変調味深いが、流速の空間的把握がなされていないため説明し難い。しかし、後者については水表面に作られる波動に基づくものと思われる。後者の特徴が深さとともに指數的につながっていることがその証左である。図-5c は水面下 1.0m でのデータである。これにはやはり上記のスペクトルピークは現われていない。しかし、界面直上で得られた図-5d にみられるように、新たに 0.2 ~ 0.3 Hz にピークが現われている。このスペクトルピークは図-5e にも現われている。つまり、界面付近では界面変動が流速変化に大きく影響していると考えられる。

図-8~10 は 8月 12日 9:50 ~ 13:00 の期間に主流の深さ方向に沿って測定したデータである。図-7 にはこのデータを用いた流速分布が示されている。測定時の潮位は約 2 cm 下降していることがわかる。前日と同様この程度の潮位変化は流速分布にはほとんど影響していないと思われる。又、界面は水面下 2.3 m に位置しており、測定前後でその変化はほとんどみられなかった。11日の夜半から12日の朝にかけての潮位の関係で、前日に比べ若干流速が増している。界面の下降もこの影響によるものである。図-9a には 0.2 Hz 附近と 0.4 Hz 附近に弱いスペクトルピークが現われている。0.2 Hz 附近的ピークは中水深、界面近傍から塩水中の逆流層内にまで及んでいることが図-9b~e より明らかとなる。その中でも、中水深、界面直下でスペクトルピークのレベルが高くなっている。界面変動がほぼ上層全域にわたる影響を及ぼしていることがわかる。最後に、図-9d と e を比較検討してみる。両データは同じ塩水中で採取されたが、前者は順流層内のデータで、後者は逆流層内のデータである。流向は電磁流速計を用いて判定した。両データの 0.2 ~ 0.4 Hz に存在するスペクトルピークがより先に予想したとおり、界面波に基づくと思われるピークレベルの変化が見い出せる。すなわち、界面から遠いほどピークレベルが降低している。ただ、ピークレベルの降低は 0.2 ~ 0.4 Hz の領域を除去すると存在せず、低周波側ではむしろ上昇の傾向がある。

以上、LDV を用いた詳細な測定を通じて従来議論し得なかつた微妙なスペクトル分布の変化について述べて来た。本報告の目的からこれ以上立入った考察はできないが、LDV の使用によって新たな知見を得る可能性が十分あることは示し得たと考える。

## 5. CM-2型電気流速計及び可搬形電磁流速計出力とプローブタイプ LDV 出力の比較

プローブタイプ LDV と他器種の出力特性の比較は、石狩川で行なわれた。測定位置は左岸より約 5 m ほど突き出した石狩町船着場構橋で、そこで水深は約 8 m である。各流速計の位置関係は、図-11 に示してあるように水面下 20 cm で、最大流速が得られるように設定された。

図-12~14 にはこれまで CM-2 型電気流速計、フィールドタイプ LDV 及び可搬形電磁流速計の測定結果を示してある。図-12~14 の(a)は流速変動のデータで、各流速計より得られた平均流速を 1 とした時の変動を表している。これは、今回の比較が流速計の精度より周波数応答に重点を置いた考察を進めるためである。この時の流速は 15 ~ 20 cm/秒である。図-12~14 の(b)(c)は天鹽川のデータと同じく、FFT 法により計算されたパワースペクトルと自己相関関数である。なお、各々のパワースペクトルに共通して現われている 4 Hz 附近の鋭いスペクトルピークは、解析に使用したデータレコーダーの雑音特性によるものである。

図-12 には偶然通った船による波が作り出す流速変動が顕著に捕えられている。特にパワースペクトルには 0.4 Hz 附近に大きなスペクトルピークとして現われている。図-13 にも、船による波に基づく流速変動が捕えら

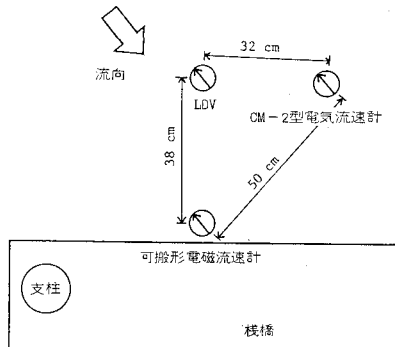


図-11 流速計設定図

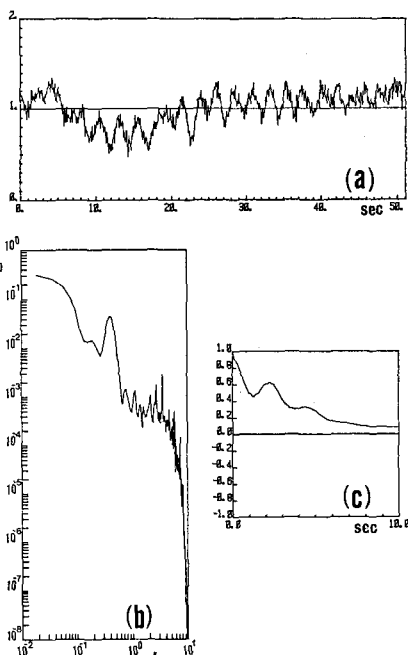


図-12 CM-2型電気流速計

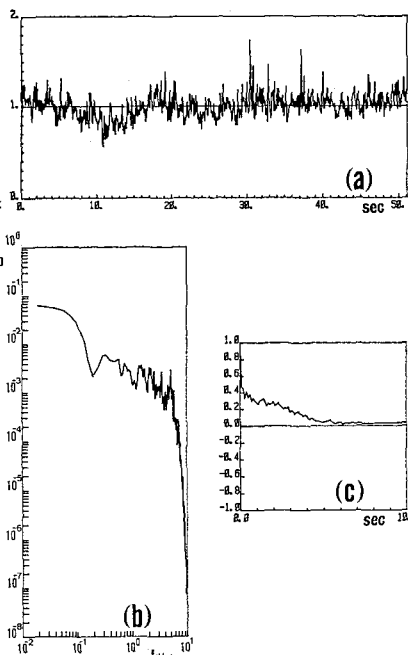


図-13 フィールドタイプLDV

に比べてみると、この図がさは前者2つの流速計に捕えられた船の波による流速変動は、ほとんど見い出せない。この理由は、可搬形電気流速計が平均流速を測定することに重点を置かれ、階級数を大きくした設計になっているためで、河川の乱流構造の解明には、まったく適していないといえる。

## 6. 結語

以上述べてきた様に、プローブタイプLDVは他器種にはない周波数応答性があり、フィールドにおいても十分実用可能と考える。しかししながら、今回製作したフィールドタイプLDVは、その信号処理法が従来のものであり、バンドパス選定上の問題や小型化において解決すべき点が多いことを実感し、今後さらに検討を続ける必要がある。

## 参考文献

- 1). F. Durst, A. Melling and J. H. Whitelaw; Principles and Practice of Laser-Doppler Anemometry, 1976
- 2). 田城徹雄・吉田静男・木谷慎; 成層密度流における界面波の発生機構, 第27回木理講演会論文集 pp. 523~530,